

### 3.1 Projeto de filtros FIR

EPUSP - PTC 3424, junho de 2017. Profa. Maria D. Miranda

Filtros são sistemas projetados para fornecer uma resposta em frequência específica. Filtro ideal possuem o módulo da resposta em frequência constante na faixa de frequência de interesse e zero fora dessa faixa e a fase linear. Quanto a resposta em frequência os filtros podem ser:

1. Passa-baixas (Low-Pass)
2. Passa-altas (High-Pass)
3. Passa-faixa (Band-Pass)
4. Rejeita-faixa (Band-Stop)
5. Passa-tudo (All-Pass)

#### A resposta ao pulso unitário de filtro passa-baixas ideal truncada

Considere a resposta em frequência do filtro passa-baixas ideal, definida aqui por conveniência apenas no período  $-\pi \leq \omega < \pi$ :

$$H_d(e^{j\omega}) = \begin{cases} 1, & \text{se } |\omega| \leq \omega_c \\ 0, & \text{se } \omega_c \leq |\omega| \leq \pi \end{cases}$$

A resposta ao pulso unitário  $h_d(n)$  que fornece  $H_d(e^{j\omega})$  é obtida com a definição da TFTD inversa:

$$h_d(n) = \frac{1}{2\pi} \int_{-\pi}^{\pi} H(e^{j\omega}) e^{j\omega n} d\omega = \frac{1}{2\pi} \int_{-\omega_c}^{\omega_c} e^{j\omega n} d\omega.$$

Resolvendo a integral, temos

$$h_d(n) = \begin{cases} \frac{\omega_c}{\pi}, & \text{se } n = 0 \\ \frac{\omega_c}{\pi} \frac{\sin(\omega_c n)}{\omega_c n}, & \text{se } n \neq 0 \end{cases}$$

Note que para  $n = \ell\pi/\omega_c$  inteiro (para todo  $\ell$  inteiro, exceto  $\ell = 0$ ), tem-se  $\omega_c n = \ell\pi$  e  $h_d(n) = 0$ . A expressão de  $h_d(n)$  pode também ser representada como

$$h_d(n) = \frac{\omega_c}{\pi} \text{sinc}\left(\frac{\omega_c n}{\pi}\right),$$

ou seja, é uma função  $\text{sinc}(\cdot)$  amostrada cuja magnitude do lóbulo principal é  $\omega_c/\pi$  e a largura do lóbulo principal é  $\pi/\omega_c$ .

Como exemplo considere um filtro passa-baixas ideal com  $\omega_c = 0,2\pi$ . A partir da definição da TFTD inversa é possível obter a seguinte resposta ao pulso unitário

$$h_d(n) = \begin{cases} 0,2; & \text{se } n = 0 \\ 0,2 \frac{\sin(\pi 0,2 n)}{\pi 0,2 n}; & \text{se } n \neq 0 \end{cases}$$

Note que,  $h_d(n) = 0$  quando  $n = \ell/0,2 = 5\ell$ , ou seja,  $n = \{\pm 5; \pm 10; \pm 15; \dots\}$ .

Na Figura 1 estão ilustrados  $H_d(e^{j\omega})$  e  $h_d(n)$ , não só para  $\omega_c = 0,2\pi$ , mas também para  $\omega_c = 0,4\pi$  e  $\omega_c = 0,9\pi$ . Com esses três casos pode-se constatar como o lóbulo principal do sinc é alterado em sua largura e em sua magnitude em função de  $\omega_c$ . Especificamente, o aumento de  $\omega_c$  diminui a largura do lóbulo principal do sinc e aumenta a sua magnitude. Por outro lado, o produto entre a largura do lóbulo principal e a sua magnitude permanece constante. Note que em todos os casos a resposta ao pulso unitário de um filtro passa baixas ideal possui infinitos coeficientes e com valores não nulos para  $n < 0$  sendo, portanto, um sistema não causal.

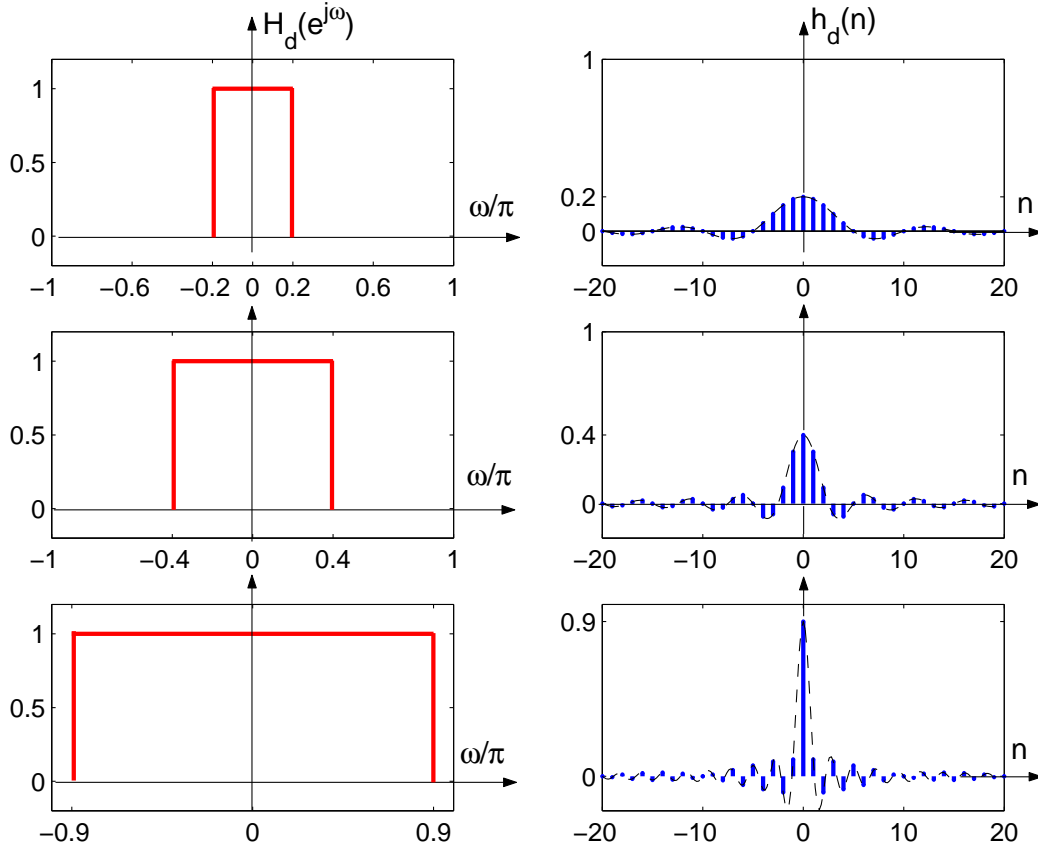


Figura 1:  $H_d(e^{j\omega})$  e  $h_d(n)$  para  $\omega_c = 0,2\pi$ ,  $\omega_c = 0,4\pi$  e  $\omega_c = 0,9\pi$ . ◀

Note que a implementação do filtro passa baixas ideal em um processador digital de sinais não é possível. Precisamos truncar essa resposta ao pulso unitário em torno de  $n = 0$  e depois deslocá-la de modo a resultar em um sistema com um número finito de coeficientes e causal. A resposta em frequência que representa a resposta ao pulso unitário truncada e deslocada não é mais exatamente a resposta em frequência do filtro passa baixas ideal.

## TFTD da janela retangular

Seja a sequencia de uns

$$g(n) = \sum_{\ell=-L}^L \delta(n - \ell)$$

A sua TFTD é

$$G(e^{j\omega}) = \sum_{n=-L}^L e^{-j\omega n} = \frac{\text{sen}([2L+1]\omega/2)}{\text{sen}(\omega/2)}$$

Na Figura 2 ilustra-se  $g(n)$  e a sua TFTD para  $L = 3$ . Na curva seguinte ilustra-se a TFTD para  $L = 4$  e  $L = 10$ .

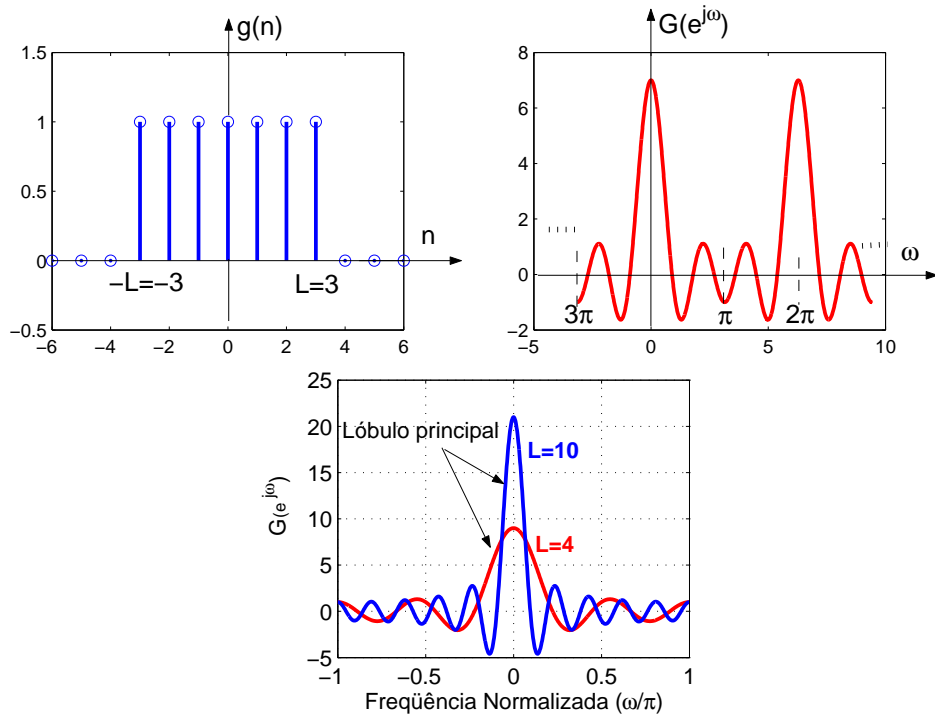


Figura 2: TFTD da janela retangular,  $L = 3$ ,  $L = 4$  e  $L = 10$

Note que

Altura do lóbulo principal:  $G(e^{j0}) = 2L + 1$

Largura do lóbulo principal:  $4\pi/(2L + 1)$

## Efeito do truncamento da resposta ao pulso unitário com a janela retangular

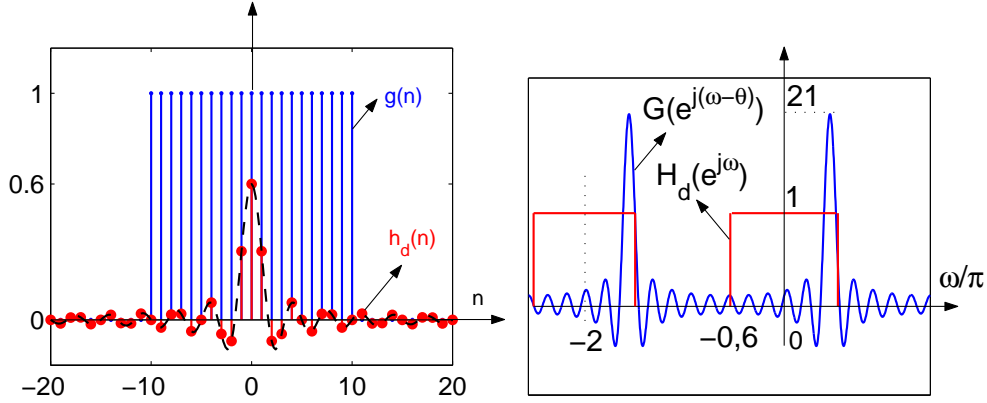


Figura 3: Multiplicação da resposta ao pulso do filtro ideal  $h_d(n)$  pela janela retangular  $g(n)$

Para ilustrar esse efeito considere a multiplicação da resposta ao pulso unitário do filtro ideal  $h_d(n)$  para  $\omega_c = 0,5\pi$ , por janelas retangulares  $g(n)$  com diferentes comprimentos  $M = 2L + 1$  conforme ilustrado na primeira coluna dos gráficos da Figura 4. Na segunda coluna desse gráfico a resposta em frequência de um filtro passa baixas ideal é representada com a curva de linha vermelha  $H_d(e^{j\omega}) = \text{TFTD}\{h_d(n)\}$ . O resultado da convolução entre a TFTD da janela retangular e a resposta em frequência de um filtro passa baixas ideal  $H(e^{j\omega}) = \text{TFTD}\{h_d(n)g(n)\} = H_d(e^{j\omega}) * G(e^{j\omega})/(2\pi)$  é representada com a curva de linha preta e essa curva muda conforme o comprimento usado na janela retangular. Note que a região de transição de  $H(e^{j\omega})$  não é mais abrupta como acontece com  $H_d(e^{j\omega})$  e a sua largura está relacionada com o comprimento da janela retangular. Quanto maior o comprimento da janela retangular mais estreita é a região de transição de  $H(e^{j\omega})$ . Além disso, as oscilações que aparecem na banda de passagem e de rejeição de  $H(e^{j\omega})$  estão relacionadas ao número de lóbulos laterais de  $G(e^{j\omega})$ . Quanto maior o comprimento da janela retangular maior é o número de lóbulos laterais e mais oscilações vão aparecer na faixa de rejeição e de passagem de  $H(e^{j\omega})$ .

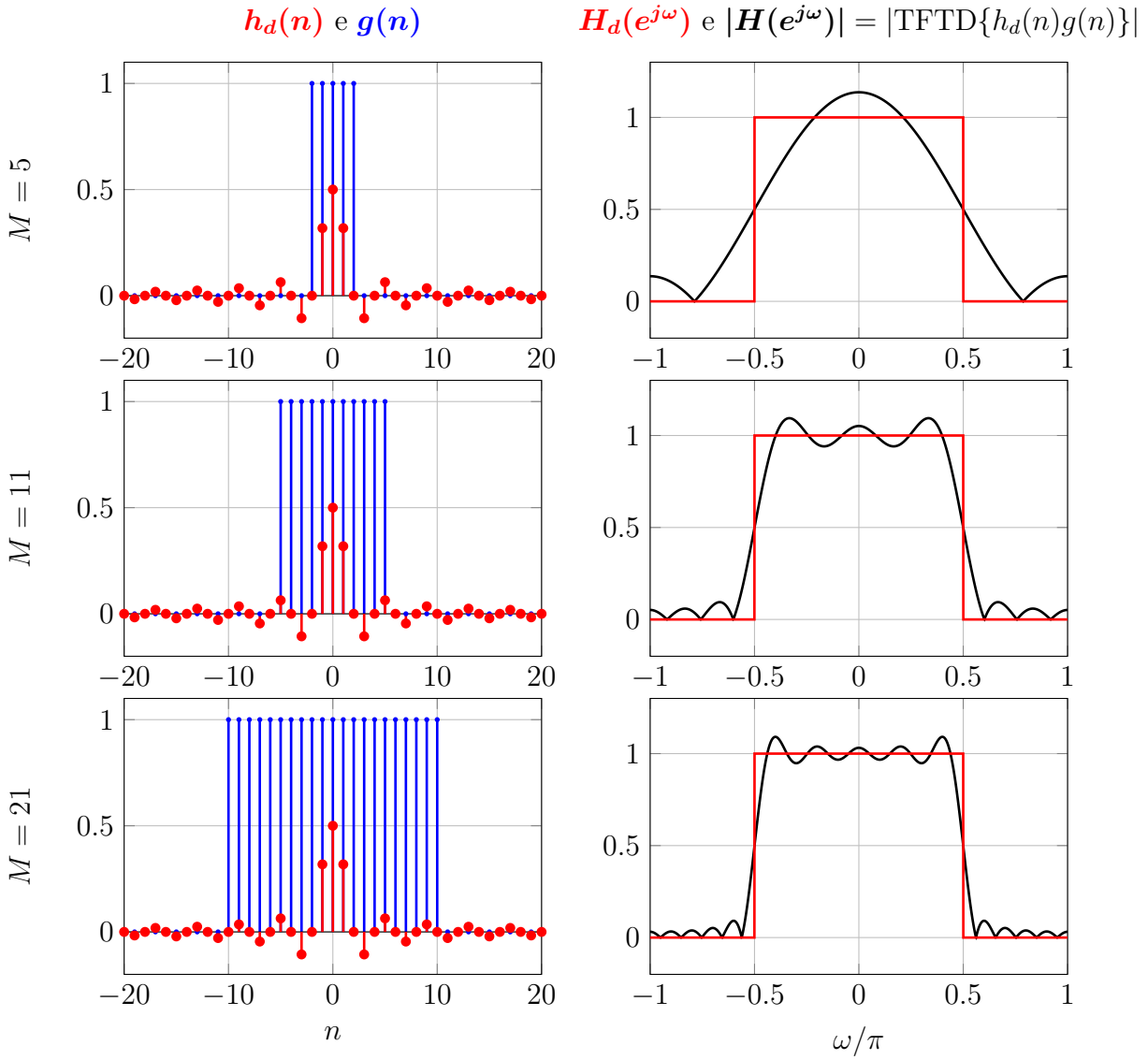


Figura 4: Curvas de  $h_d(n)$ ,  $g(n)$ ,  $H_d(e^{j\omega})$  e  $H(e^{j\omega}) = \text{TFTD}\{h_d(n)g(n)\}$  para janelas com comprimento de  $M = 5$ ,  $M = 11$  e  $M = 21$  amostras. ◀

### Fenômeno de Gibbs:

1. As oscilações se acumulam nas descontinuidades com um pico de erro de 9% da amplitude.
2. Ocorrem devido à transição abrupta da janela (tempo).
3. Diminuiriam se a razão entre as amplitudes dos lóbulos principal e secundário fosse maior (frequência).

O que se deseja de uma janela no domínio das frequências:

- Deve possuir razão entre lóbulos principal e secundário o menor possível (oscilações).
- Energia que decai rapidamente (lóculo principal o mais estreito possível).

### Janelas senoidais usuais

$$g(n) = \sum_{k=0}^3 a_k \cos\left(\frac{\pi}{L}kn\right), \quad -L \leq n \leq L.$$

Janela	$a_0$	$a_1$	$a_2$	$a_3$
Retangular	1	0	0	0
Von Hann	0,5	0,5	0	0
Hamming	0,54	0,46	0	0
Blackman	0,42	0,5	0,08	0
Plana	0,24726	0,46071	0,25078	0,04125

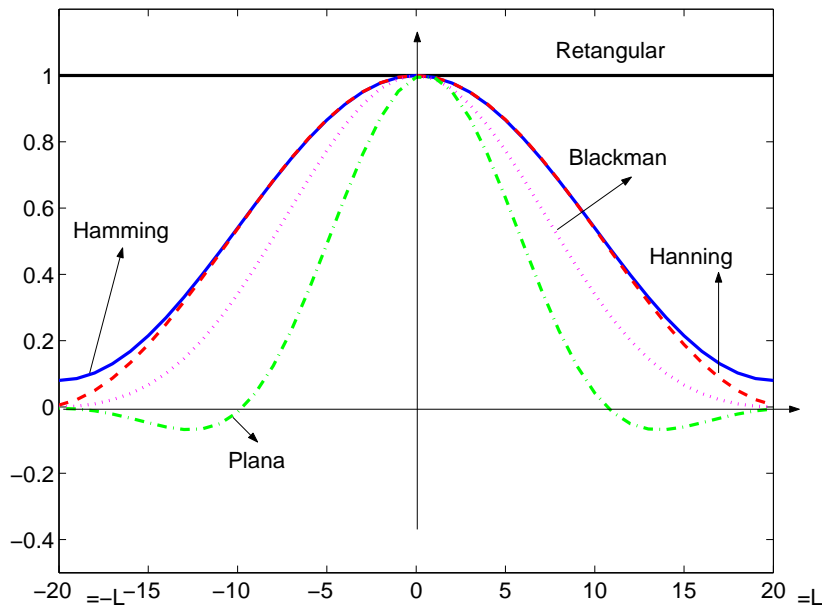


Figura 5: Janelas senoidais usuais em função  $n$ .

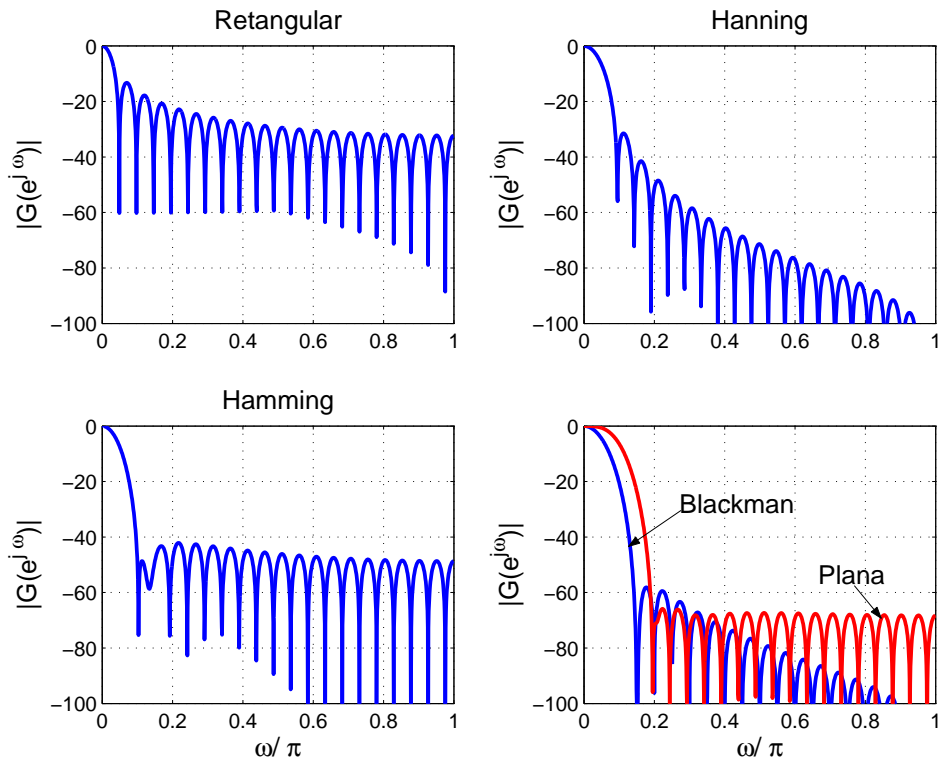


Figura 6: TFTD das janelas em função de  $\omega/\pi$ .

### Propriedades das janelas mais utilizadas

Janela	Atenuação do lób. lateral (dB)	Atenuação do filtro (dB)	Largura do lób. principal
Retangular	13,3	20,9	$4\pi/N$
Hanning	31,5	43,9	$8\pi/N$
Hamming	42,7	54,5	$8\pi/N$
Blackman	58,1	75,3	$12\pi/N$
Plana	$\approx 70$	$\approx 89$	$16\pi/N$

$$N = 2L.$$

## A janela de Kaiser

$$g_k(n) = \begin{cases} \frac{I_o\left(\beta \sqrt{1 - \left(1 - \left(\frac{2n}{N-1}\right)^2}\right)}\right)}{I_o(\beta)}; & n = 0, 1, \dots, N-1 \\ 0; & \text{demais valores de } n \end{cases}$$

sendo  $I_o(\cdot)$  função de Bessel modificada de ordem 1.

## Procedimento de projeto com a janela de Kaiser

1. A partir de  $\delta_r$  e  $\delta_p$ , calcula-se

$$a = -20 \log_{10} [\min\{\delta_r, \delta_p\}]$$

$$D = \frac{a - 7.95}{14.36}$$

$$\beta = \begin{cases} 0.1102(a - 8.7); & \text{para } a > 50dB \\ 0.5842(a - 21)^{0.4} + 0.07886(a - 21); & \text{para } 21 < a \leq 50dB \\ 0; & \text{para } a < 21dB \end{cases}$$

2. A partir de  $D$  e  $\Delta\omega = \omega_r - \omega_p$  obtém-se

$$L = \frac{\pi D}{\Delta\omega}$$

3. Com  $\beta$  e  $N = \text{round}(2L + 1)$  calcula-se a janela de Kaiser  $g_k(n)$ .
4. Com  $N$  calculado no passo 3 obter  $h_d(n)$  e calcular  $h(n) = h_d(n) g_k(n)$ .